# 基于高分辨质谱、HCD 和 EThcD 碎裂的重度脂肪酸链 修饰多肽解析

龙珍 祝翔

赛默飞世尔科技(中国)有限公司

关键字: 甘油脂, 脂质, 脂蛋白, 脂肽, ETD, EThcD, 高分辨质谱

## 1. 引言

治疗和预防性重组蛋白药物通常具有丰富的修饰,例如糖基化、磷酸化/硫酸化、酰胺化、乙酰化和脂质修饰。在这些修饰中,脂质修饰的分析尤其困难。脂质修饰的蛋白以膜蛋白为主,从单脂肪链修饰到甘油脂修饰都用于了生物药的研发。其中,甘油脂+单脂肪链混合修饰的蛋白的表征非常困难。第一,脂修饰的蛋白,酶解得到的脂肽通常疏水性较强,从而导致非常显著的色谱残留,为不同样品的分析带来挑战。第二,该脂质修饰的多肽分子量较大,较大分子量的碎裂是对质谱碎裂模式的挑战。第三,如何归属脂肽碎裂得到的碎片,用于推导脂质修饰的结构。

在一些文献中,单脂肪酸链的修饰分析已经做了介绍<sup>[1]</sup>。本文以某膜蛋白为例,讲解蛋白的油脂 + 单脂肪链混合修饰解析。如图 1 所示,其中红色标识的部分为该蛋白的 N 端氨基酸残基 (C),蛋白 N 端半光氨酸残基 C 上的氨基通过脱水缩合与脂肪链(R1)形成酰胺键。半胱氨酸残基的巯基(-SH)与甘油单脂或双脂脱水缩合形成 R2 或 / 和 R3 的脂肪链修饰。由于脂肪链的种类较多,只是通过一级质量数,难以推测该脂质修饰的结构信息。因此,本实验采用 EThcD 和 HCD 尝试推测 R1-R3 的类型。

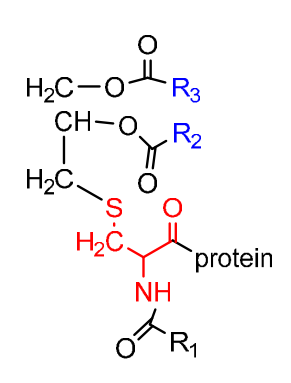


图1本研究所用膜蛋白的脂质修饰结构。

# 2. 实验部分

取适量样品用 50 mM 碳酸氢铵稀释到 1 mg/mL,然后加入 trypsin 或 GluC,37  $^{\circ}$ C,过夜酶切。21000 g 离心上述样品, 然后取上清液做 LCMS 分析。

#### 3. 仪器及方法

质谱仪器: Orbitrap Eclipse™ Tribrid™;

色谱仪器: Vanquish Flex 液相色谱系统;

#### 3.1 仪器方法

## 1) NanoLC-EThcD 分析

分析柱: MabPacRP (2.1 x 50 mm, 4 μm); 柱温: 60 ℃; 流动相: A: 0.1% FA- 水; B: 0.1% FA- 乙腈; 分析流速: 0.3 mL/min; 上样量: 5 μL。

# 分析泵梯度:

时间 (min)	B/%
0	10
10	45
30	95
35	95
35.1	10
40	10

#### 质谱条件:

离子化方式: ESI+; 喷雾电压: 3.6 kV; 鞘气: 35; 辅助气: 10; 离子传输管温度: 320 ℃; 雾化气温度: 350 ℃; 扫描范围: 200-2000 m/z MS1; 110 m/z MS2 first mass; AGC: standard MS1, 150% MS2; 碎裂模式: EThcD, 补偿能量 30%。

#### 4. 数据采集及分析

Thermo Xcalibur Qual Brower 定性浏览器

BioPharma Finder 5.2

Mass Frontier 8.1

# 5. 结果与讨论

#### 5.1 液相方法的选择

如图 2 所示,由于甘油脂修饰的多肽疏水性较强,用 C18 作为固定相分析该样品,脂肽洗脱时的乙腈比例较高(90% 左右),容易与色谱柱中残留的其他干扰物质一并洗脱,从而产生较强的抑制。用 MabPacRP 作为固定相,受到的干扰较少(双脂修饰洗脱的有机相比例大约 55%),而且可以实现脂肽的快速洗脱和分离。

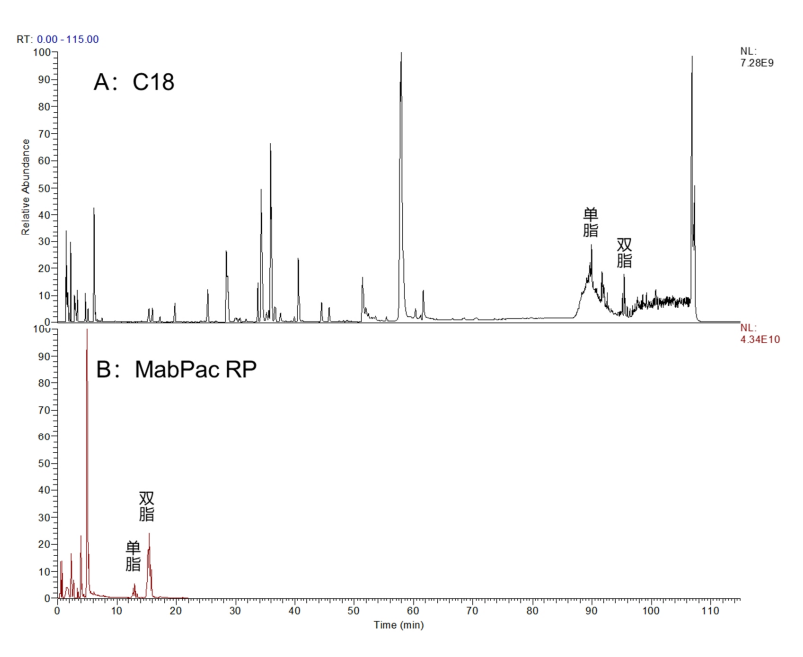


图2 C18 (A) 和MabPac RP (B) 分离脂肽的TIC图。

# 5.2 甘油双脂修饰的解析

#### 5.2.1 HCD 碎裂甘油双脂修饰的多肽

从 TIC 图可以看到,该蛋白以甘油双脂修饰为主。本节以修饰的质量数为 800.7258 Da 的脂肽为例讲解甘油双脂修饰的脂肽的脂肪链类型推测(图 3)。在质谱图中可以检测到该脂肽的多个价态(2,3,4),以 BPF 为检索软件,对二级谱图中的碎片

进行归属,可以得到如图 3 所示的二级覆盖图和带标识的 MS2 图。从二级碎片覆盖图可以看到,HCD 可以为该肽段获得大量的 b、y 离子,实现所有氨基酸连接的验证 (ASR=1.0),证明该肽段氨基酸序列的正确性。同时 b 离子和极小的一级偏差(2.17 ppm),说明该修饰的存在。质量数为 800.7258 Da 的甘油脂修饰可以有多种组合,比如连接在氨基上的 C16 脂肪链、连接在甘油上的 C17 脂肪链(或含双键)和 C16 脂肪链(或含双键)。为了探索该修饰的组成,需要深度解析该肽段的二级碎片。

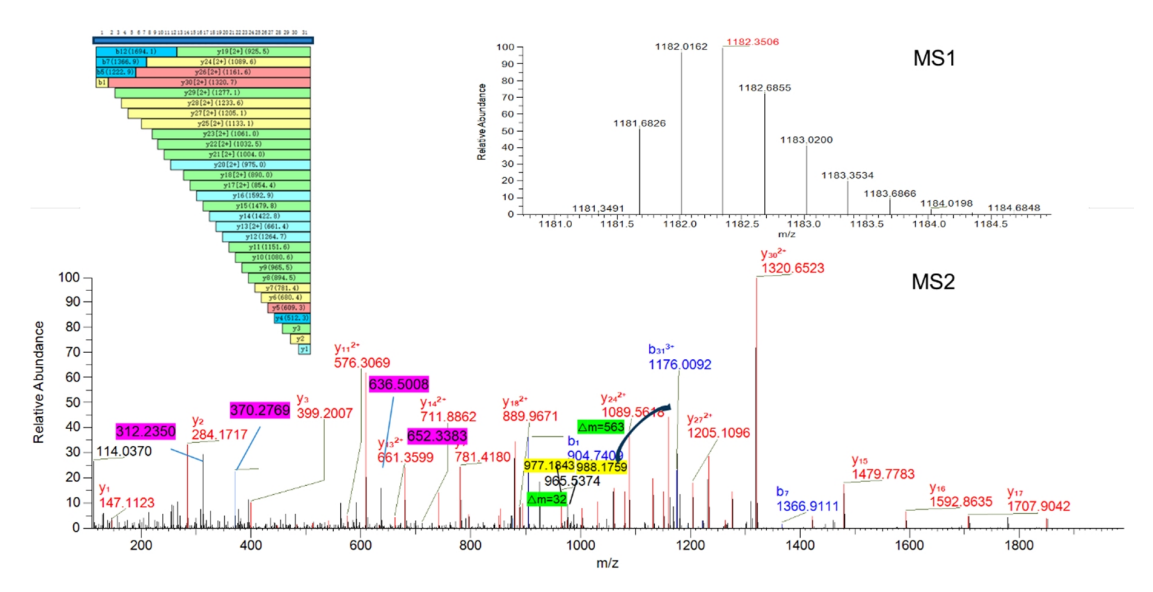


图3 修饰为800.7258 Da的脂肽的一级和二级信息(HCD碎裂所得)。紫色底的字体为b1离子丢失部分脂肪链后的碎片。黄色底的字体为脂肽丢失部分脂肪链后的碎片。

在二级碎片中(图 4-7),首先解析丰度较高的碎片,如 m/z 636.5010。当肽段的 N 端连接 C16 饱和脂肪酸链时,该脂肪酸链断裂后会形成 m/z 为 636.5020 的碎片,其碎裂规律如图 4 所示。m/z 652.3383 与甘油上的 C17 脂肪链断裂后的 b1 碎片m/z 相近(652.4969,图 5)。m/z 370.2766 和 m/z 312.2350 与两条甘油脂肪链(C16 和 C17,其中一个带双键)断裂后的 b1 碎片质量数接近(m/z 370.2774,m/z 312.2356)。由于 m/z 652.3383 证明了 C17 饱和脂肪链修饰的存在,所以另一条脂肪链只能是含一个双键的 C16 脂肪链。

图4 m/z为636.5020的碎片裂解规律

图5 m/z为652.4969的碎片裂解规律

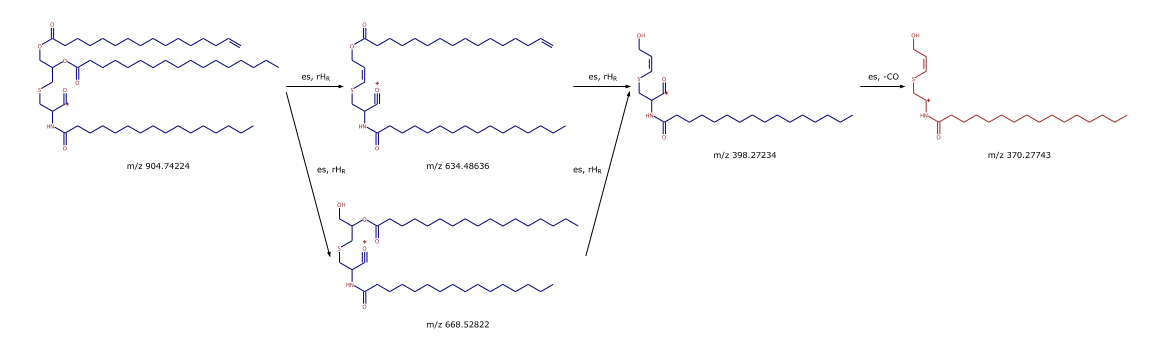


图6 m/z为379.2774的碎片裂解规律

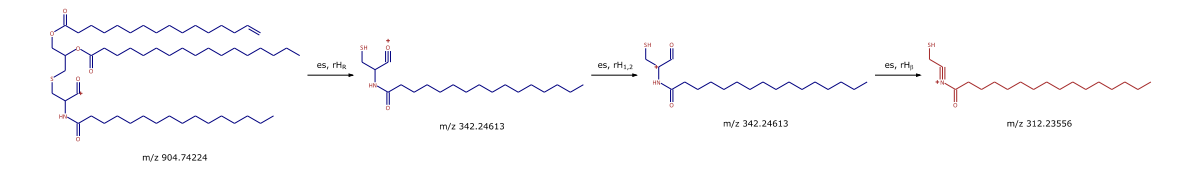


图7 m/z为312.2356的碎片裂解规律

除 b1 离子碎裂产生的碎片以外,b31 离子丢失脂肪链的信息也证明了这些脂肪链的存在。如图 3 所示,m/z 988.1759 与 b31( m/z 1176.0092 ) 的质量差均为 563 Da,即丢失甘油双脂(C16+C17,其中一个含有一个双键 ) 后的碎片。m/z 977.1843 与 m/z 988.1759 相差 32 Da,是巯基连接的甘油脂的两种碎裂方式  $^{[2]}$ ,即丢失巯基和不丢失巯基。

#### 5.2.2 EThcD 碎裂甘油双脂修饰的多肽

相比 HCD 碎裂,EThcD 碎裂(图 8)不仅可以获得 b、y 离子,还可以获得丰富的 c、z 离子,两类碎片相互印证,为该肽段的修饰和氨基酸序列验证提供了可靠保障。但与 HCD 相比,ETD 的碎裂更加温和,在 EThcD 的碎裂中,可以看到多肽丢失脂肪链后的碎片。如图 8 所示,m/z 1645.4003 与分子离子峰相差 254 Da,是丢失一分子 C16 饱和脂肪酸链修饰后的碎片。m/z 1491.2626 与 m/z 与分子离子峰相差 562 Da ,是丢失甘油双脂修饰后的碎片(C16+C17, 其中一个含双键)。m/z 1474.7737 与分子离子峰相差 562+32 Da ,是丢失甘油双脂修饰 +S 后形成的碎片。m/z1347.6517 与分子离子峰相差 562+32+254,丢失甘油双脂 +S+C16 饱和脂肪烃链修饰后的碎片。

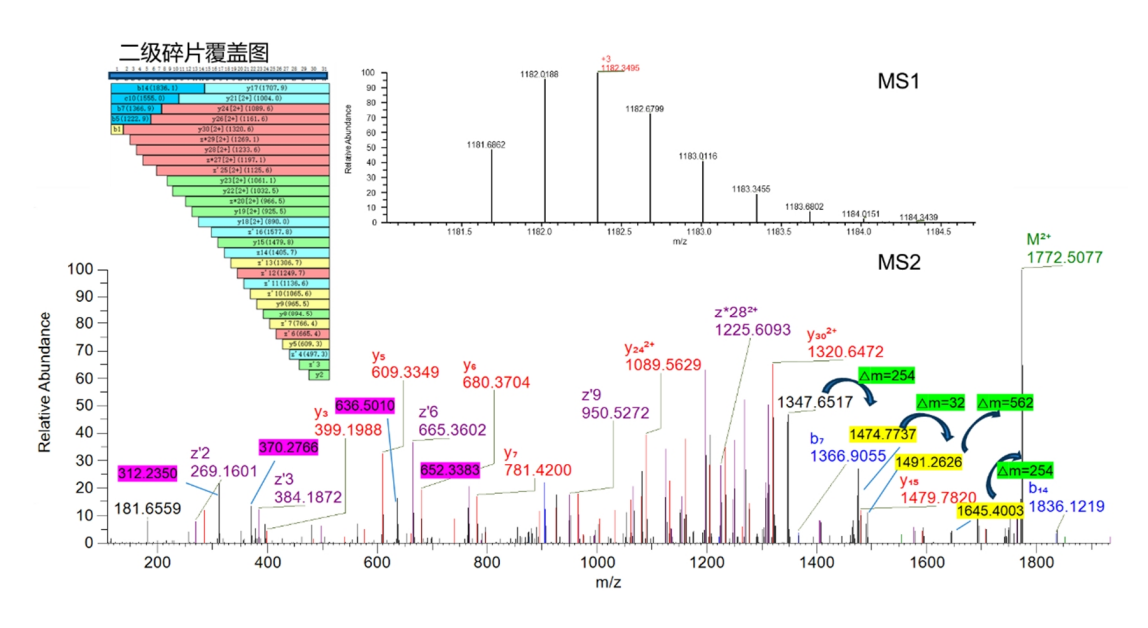


图8 修饰为800.7258 Da的脂肽的一级和二级信息(EThcD碎裂所得)。紫色底的字体为b1离子丢失部分脂肪链后的碎片。黄色底的字体为脂肽丢失 部分脂肪链后的碎片。

此外,在 EThcD 的 谱 图 中,也 检 测 到 了 HCD 的 一 些 碎 片,例 如 m/z 636.5010,652.3383, m/z 370.2766 和 m/z 312.2350。他们证明了甘油双脂含有一个 C17 饱和脂肪酸链和一个 C16(带一个双键)的脂肪酸链。综合以上信息,m/z 为 800.7258 Da的修饰是 C16 饱和脂肪烃修饰 N端和甘油脂,甘油脂带一个 C17 饱和脂肪烃链和一个 C16 脂肪烃(含一个双键)链。

# 5.3 甘油单脂修饰的解析

#### 5.3.1 HCD 碎裂甘油单脂修饰的多肽

甘油单脂的修饰,我们以修饰分子量为 562.4962 Da 为例进行解析。该分子式,有两种修饰的可能:第一,甘油双脂修饰巯基,肽段 N 端没有脂肪链修饰;第二,甘油单脂修饰巯基,肽段 N 端以脂肪链修饰。首先,图 9 中丰富的 b、y 离子碎片(所有氨基酸连接均可验证,ASR=1.0)和极小的一级偏差(-0.51 ppm)说明该修饰和肽段序列的正确性。图 9 和 10,m/z 256.2632与 b1 离子丢失掉甘油单脂(含一个双键的 C17 脂肪链)形成的碎片 m/z 相近。此外,m/z 987.5054与 b313+离子的质量差为 326.2941,该质量数也与含一个双键的 C17 脂肪链修饰的甘油单脂相近。此外 m/z 976.8475也说明了该修饰的存在。m/z 358.2404和 m/z 398.2731是 b1离子丢失 C16 脂肪链修饰后的碎片。综上所述,修饰分子量为 562.4962 Da 的多肽是甘油单脂修饰巯基(含一个双键的 C17 脂肪链)和肽段 N 端以脂肪链(C16 饱和脂肪酸链)修饰的多肽。

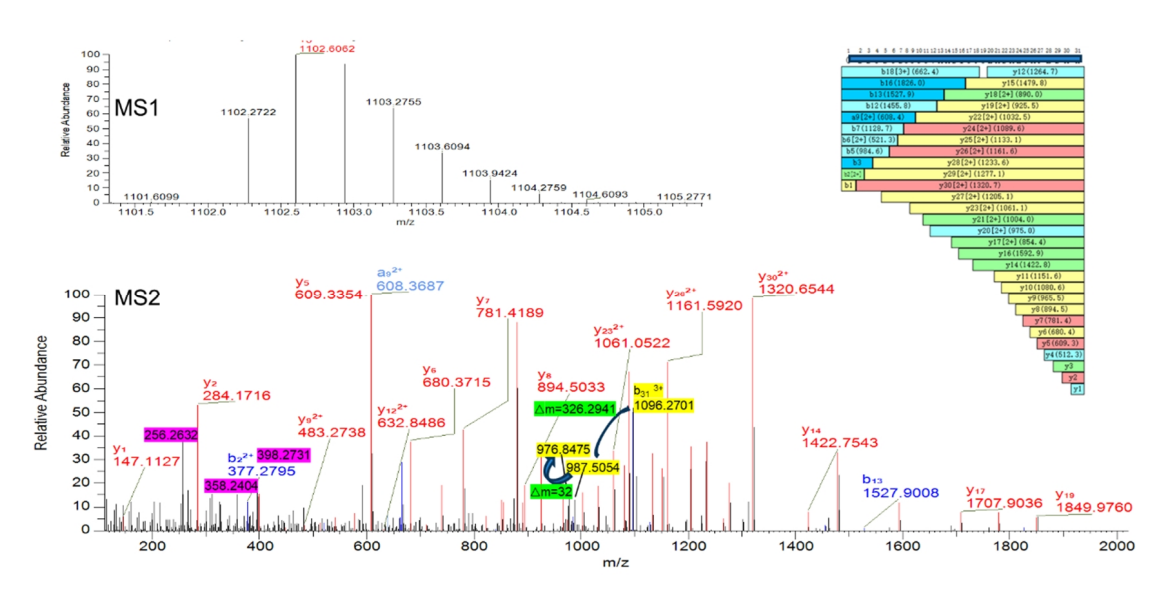


图9 修饰分子量为562.4962 Da的脂肽一级和二级质谱图(HCD碎裂所得)

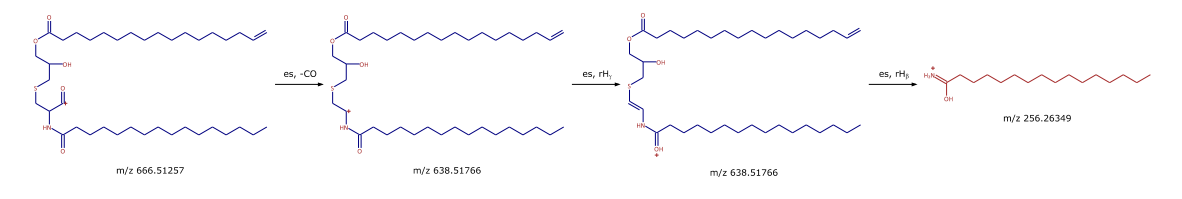


图10 m/z 256.2634碎片的裂解规律

#### 5.3.2 EThcD 碎裂甘油单脂修饰的多肽

相比 HCD, EThcD 可以获得更丰富的碎片。如图 11 所示, EThcD 不仅可以获得丰富的 b、y 离子碎片, 还可以得到 c、z 碎片, 不同的碎裂方式所得碎片相互印证,实现该肽段所有氨基酸连接信息的获取(ASR=1.0)。此外, ETD 还可以获得多肽直接丢失甘油脂后的碎片信息。例如, m/z 1491.2665, m/z 1475.2816, m/z 1347.6533 分别是该肽段丢失甘油单脂,丢失甘油单脂+S,丢失甘油单脂+S+C16 脂肪链后的碎片。

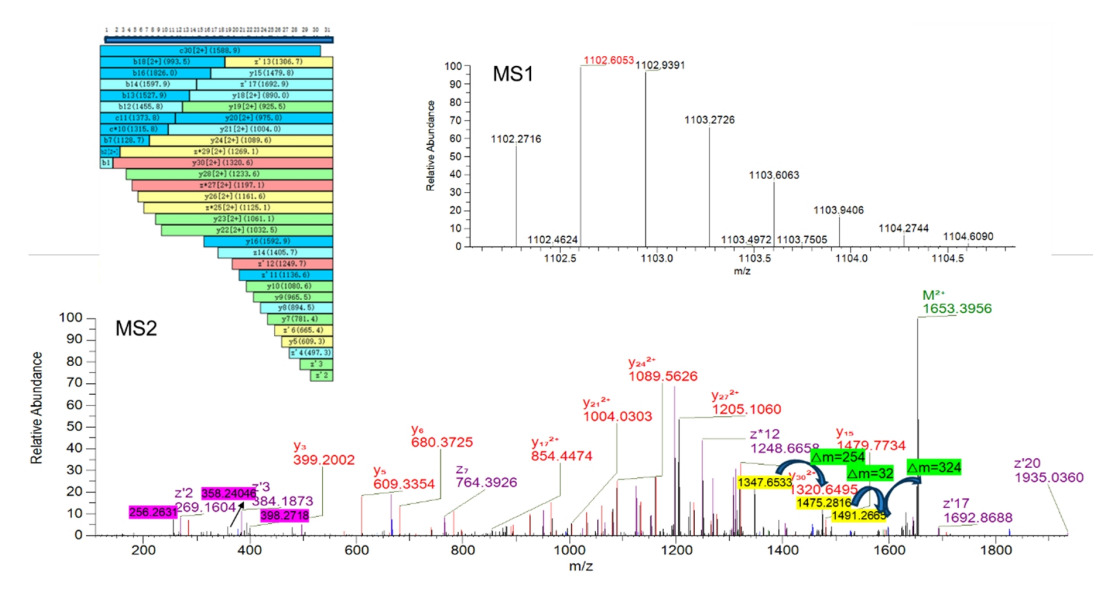


图11 修饰分子量为562.4962 Da的脂肽一级和二级质谱图(EThcD碎裂所得)

#### 结论

Orbitrap 为质量分析器的质谱可以提供多种碎裂。HCD 具有较高的碎裂能力,可以为较大脂肪酸链修饰的长肽(本案例的多肽为 31 肽 } 提供丰富的碎片,实现所有氨基酸的连接确证。同时 HCD 还具有二次碎裂能力,实现肽键碎裂的同时,还可以获得脂肪酸链的碎裂的信息,为脂肪酸链的组成推导提供依据。EThcD 结合了 HCD 的高能碎裂和 ETD 较温和的碎裂,可以获得多肽碎裂脂肪酸链而不碎裂肽键的信息,为推导脂肪酸链的组成提供进一步依据。无论是哪一种碎裂方式,都可以结合 Orbitrap的高质量准确性和高灵敏度,实现复杂脂肪酸链修饰的长肽段的直接解析。

# 参考文献

[1]M.D. Hoffman, J. Kast, Mass spectrometric characterization of lipid-modified peptides for the analysis of acylated proteins, Journal of mass spectrometry: JMS, 41 (2006) 229-241.

[2]M.A. Kaczorowska, H.J. Cooper, Electron Capture Dissociation and Collision Induced Dissociation of S-Dipalmitoylated Peptides, Journal of the American Society for Mass Spectrometry, 24 (2013) 1224-1227.



热线 800 810 5118 电话 400 650 5118 www.thermofisher.com

